

자기장의 공간의존성을 고려한 연마 채널 내 자기유변유체의 유변학적 거동 연구

An Analytic Study on the Rheological Behavior of Magnetorheological(MR) fluids having Field-dependent Yield Stress in Polishing Channel

*김필기¹, 정지현¹, #석종원²

*P. Kim¹, J. Jung¹, #J. Seok (seokj@cau.ac.kr)²

¹중앙대학교 기계공학부 대학원, ² 중앙대학교 기계공학부

Key words : Magnetorheological fluid, Field-dependent yield stress, Bi-viscosity model, Navier slip model

1. 서론

최근 바이오, 나노, 정보저장관련 기술이 급속도로 발전함에 따라, 초정밀/초미세 부품 표면의 선택적 3 차원 연마를 위하여 자기유변 연마공정이 각광받고 있다. 자기유변유체는 대표적인 점소성 물질 중 하나로서, 이의 유변학적 특성은 외부 자기장에 크게 의존한다. 최근 보고된 자기유변 연마공정에 대한 이론적 연구에서, 연마채널 내 자기유변유체의 거동이 대표적인 점소성 유체 모델인 biviscosity 모델을 바탕으로 고찰되었다 [1]. 이러한 해석적 연구는 연마 채널 내 자기유변유체의 유동 변화를 거시적 접근방법을 통하여 기술하였다. 하지만 이 연구에서는 연마 채널 내 자기장이 균일하다는 가정을 전제로 하기 때문에, 연마 채널 내 자기장의 변화에 따른 자기유변유체의 거동을 자세히 기술할 수 없는 한계를 가지고 있다. 본 연구에서는 연마 채널 내 자기장의 변화를 고려한 자기유변 유체의 채널 유동에 대한 해석적 연구가 수행되었다.

2. 자기유변유체의 구성방정식

Fig. 1 은 wheel-type magnetic tool 을 이용한 자기유변 연마공정의 연마채널을 나타낸 것이다.

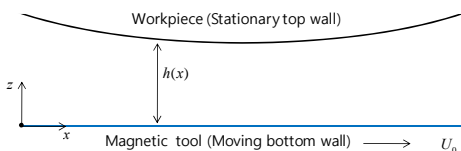


Fig. 1 Channel geometry in MR polishing process

이러한 채널 내를 흐르는 자기유변 유체의 정상상태 유동은 레이놀즈 유틀 이론을 바탕으로 다음과 같이 표현될 수 있다.

$$\frac{d\tau}{dz} = \frac{dp}{dx}, \quad \frac{\partial q_x}{\partial x} = 0, \quad q_x = \int_0^h u dz \quad (1)$$

여기에서, τ 는 전단응력, p 는 압력, q_x 는 단위체적당 유량, u 는 유속을 의미한다. 한편, 점소성 유체 모델 중 하나인 biviscosity 모델[2]은 다음과 같이 주어진다.

$$\tau = \eta_1 \frac{du}{dz}, \quad |\tau| < \tau_y, \quad (2)$$

$$\tau = \eta_2 \frac{du}{dz} + \tau_y \left(1 - \frac{\eta_2}{\eta_1}\right) \text{sgn}\left(\frac{du}{dz}\right), \quad |\tau| > \tau_y,$$

여기에서, η_1 및 η_2 는 항복 전/후의 유체의 점성이며, τ_y 는 유사항복응력이다. 자기유변 유체는 일반적으로 자기장에 의존적인 점소성 특성을 나타낸다. 본 연구에서는 이러한 자기유변유체를 적절히 기술하기 위하여, 식 (2)로 표현되는 biviscosity 모델에 공간의존성을 갖는 항복 응력을 도입하였다. 실험 연구의 결과를 바탕으로 항복응력과 임계 전단속도는 Fig. 2 와 같이 표현될 수 있으며, 이에 대한 선형 근사식은 식 (3)으로 주어진다.

$$\tau_y(z) = \eta_1^* (1 - \kappa) \dot{\gamma}_c(z) + \kappa \tau_y^*, \quad \tau_y(z) = \tau_y^* - \alpha_z z, \quad (3)$$

여기에서, $\alpha_z > 0$, $\kappa = \tau_y / \tau_y^*$ ($0 < \kappa < 1$). 또한, Fig. 2 에서 보여지듯이, 항복응력 및 α_z 의 유효 범위는 $\tau_y < \tau_y(z) < \tau_y^*$ 및 $0 < \alpha_z < (1 - \kappa) \tau_y^* / h$ 으로 주어진다. 한편, Navier slip model 을 도입하면서, 채널 벽면의 경계조건은 다음과 같이 주어진다.

$$u|_{z=0} = U_0, \quad u|_{z=h} = -\beta \tau_{xz}|_{z=h}. \quad (4)$$

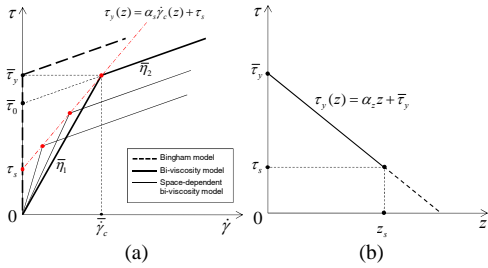


Fig. 2 (a) Space-dependent bi-viscosity model and (b) the associated yield stress

식 (4)에서, U_0 는 아래 벽면의 이동속도이며, β 는 슬립 계수이다. 해석을 편의를 위해 식 (5)의 무차원수들이 도입되었다.

$$\begin{aligned} \tilde{x} &= \frac{x}{h^*}, \quad \tilde{z} = \frac{z}{h^*}, \quad \tilde{p} = \frac{ph^*}{\eta_2^* U^*}, \quad \tilde{\tau} = \frac{\tau h^*}{\eta_2^* U^*}, \quad \tilde{q}_x = \frac{q_x}{U^*}, \quad \tilde{u} = \frac{u}{U^*}, \\ \tilde{h} &= \frac{h}{h^*}, \quad \tilde{\alpha}_z = \frac{\tau_y^* h^{*2}}{\eta_2^* U^*}, \quad \tilde{\tau}_y^* = \frac{\tau_y^* h^*}{\eta_2^* U^*}, \quad \tilde{U} = \frac{U_0}{U^*}, \quad \tilde{\beta} = \frac{\beta \eta_2^*}{h^*}. \end{aligned} \quad (5)$$

식 (1)-(4)를 이용하면서, 본 연구에서 고려한 점소성 유체의 해석하는 항복 전과 후에 대하여 각각 다음과 같이 구하여진다.

$$\begin{aligned} \tilde{u}(\tilde{z}) &= \frac{1}{2} \left[P + \text{sgn} \left(\frac{du}{dz} \right) \tilde{\alpha}_z \left(1 - \frac{\varepsilon^*}{1-\kappa} \right) \right] \tilde{z}^2 \\ &\quad + \left(\tilde{\tau}_b - \text{sgn} \left(\frac{du}{dz} \right) \tilde{\tau}_0^* \right) \tilde{z} + A_1, \\ \tilde{u}(\tilde{z}) &= \frac{\varepsilon^*}{2(1-\kappa)} P \tilde{z}^2 + \frac{\varepsilon^*}{1-\kappa} \left(\tilde{\tau}_b + \frac{\kappa \tilde{\tau}_y^*}{\tilde{\alpha}_z} P \right) \tilde{z} \\ &\quad + \frac{\kappa \varepsilon^*}{1-\kappa} \frac{\tilde{\tau}_y^*}{\tilde{\alpha}_z} \left(\tilde{\tau}_b + \frac{\tilde{\tau}_y^*}{\tilde{\alpha}_z} P \right) \left[\ln \tilde{\tau}_y^* + \ln \left(1 - \frac{\tilde{\alpha}_z}{\tilde{\tau}_y^*} \tilde{z} \right) \right] + A_2. \end{aligned} \quad (6)$$

식 (6)에서, $P = dp/dx$, ε^* 은 점성비(η_2/η_1)이며, τ_b 는 아래 벽에서의 응력을 의미한다. 적분 상수 A_1 와 A_2 는 식 (4)의 경계조건과 유체 내 항복계면의 연속조건으로부터 결정될 수 있다.

3. 결과

이러한 해석해를 바탕으로 Refs. [1,2] 에서와 같은 해석절차에 따라 자기유변유체의 유동 형태가 5 가지 형태로 구분될 수 있다: floating pseudo-core flow (Case I), upper pseudo-core flow (Case II), lower pseudo-core flow (Case III), pure shear flow (Case IV), pure pseudo-core flow (Case V) [1,3]. 또한, 상기의 유동 형태는 무차원수 Bingham number (Bn)와 Couette number (Co)에 크게 의존적이다.

Fig. 3 은 parametric domain (Bn, Co)에 5 가지의 유동형태 영역을 기술한 $Bn-Co$ diagram 을 나타낸 것이다. Fig. 3 에서 보여지듯이, α_z 가 매우 작을 때 ($\alpha_z=10^{-5}$), $Bn-Co$

diagram 은 biviscosity 모델을 이용한 결과와 유사한 형태를 나타낸다. 반면, α_z 가 증가함에 따라 $Bn-Co$ diagram 은 Bn 및 Co 축을 따라 평행이동하며, biviscosity 모델과 달리 Case II 및 Case III 의 영역이 비대칭적으로 형성되는 것을 확인할 수 있다.

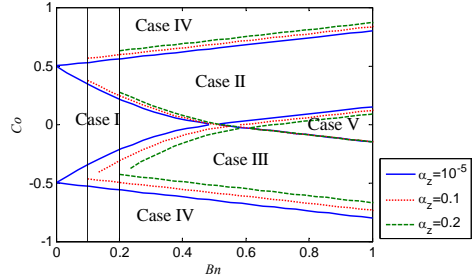


Fig. 3 Bn-Co diagram with respect to α_z : $\varepsilon=0.03$, $\kappa=10^{-5}$

4. 결론

본 연구에서는 자기유변 연마공정에서 연마채널 내 자기유변유체의 유동 특성을 고찰하기 위한 해석적 연구를 수행되었다. 연마 채널 내 자기장의 변화를 고려하기 위하여, 공간 의존적 항복응력을 갖는 biviscosity 모델이 제안되었다. 이를 바탕으로, 연마 채널 내의 자기유변유체의 유동 형태를 도시한 $Bn-Co$ diagram 이 구하여졌다. $Bn-Co$ diagram 은 일반적인 biviscosity 모델을 사용한 결과와 상이한 경향을 나타낸다. 본 연구에서 제안한 모델은 채널 내 자기장의 변화가 두드러진 경우, 자기유변유체의 거동 분석에 유용하게 사용될 수 있으리라 사료된다.

후기

이 논문은 2011 년도 정부 (교육과학기술부) 의 재원으로 한국연구재단의 지원을 받아 수행된 연구임(No. 2011-0013249).

참고문헌

- Kim, P., Seok, J., "Viscoplastic flow in slightly varying channels with wall slip pertaining to a magnetorheological (MR) polishing process," J. Non-Newtonian Fluid Mech., **166**, 972-992, 2011.
- Tichy, J.A., "Hydrodynamic lubrication theory for the Bingham plastic flow model," J. Rheol., **85**(4), 477-496, 1991.
- Tsangaris, S., Nikas, C., Tsangaris, G., Neofytou, P., "Couette flow of a Bingham plastic in a channel with equally porous parallel walls," J. Non-Newtonian Fluid Mech., **144**(1), 42-48, 2007.